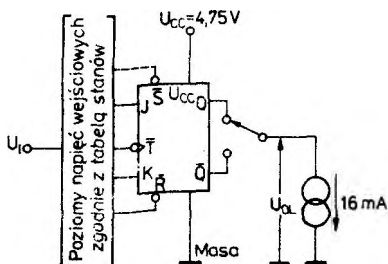
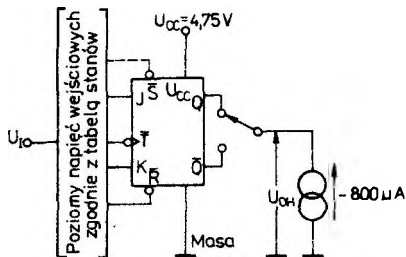


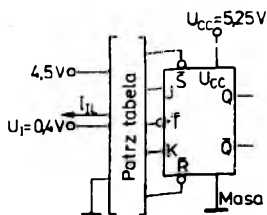
Przerzutniki: UCA6473N, UCA6476N, UCA64107N, UCY7473N, UCY7476N, UCY74107N



Każdy przerzutnik jest badany oddzielnie.
Układ pomiarowy 8. Pomiar U_{OL}



Każdy przerzutnik jest badany oddzielnie.
Układ pomiarowy 9. Pomiar U_{OH}

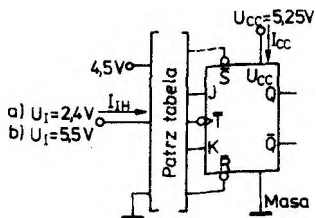


Układ pomiarowy 10. Pomiar I_{IL}

Tabela określająca warunki pomiaru I_{IL}

Na wejście badane przyłożyć $U_1 = 0,4 \text{ V}$	Dotknąć chwilowo do masy	Przyłożyć $U_1 = 4,5 \text{ V}$ na wejścia
\bar{T}	\bar{R} (uwaga 2)	J, K.
\bar{R}	-	\bar{T} , J.
\bar{S} (uwaga 3)	-	\bar{T} , K.
J	Q (uwaga 4)	\bar{T} , \bar{R} .
K	\bar{Q} (uwaga 4)	\bar{T} , \bar{R} .

- Uwagi: 1. Każdy przerzutnik jest badany oddzielnie.
2. Po chwilowym dotknięciu do masy przyłożyć napięcie $U_1 = 4,5 \text{ V}$.
3. Wejście \bar{S} występuje tylko w układach 64/7476N.
4. Po chwilowym dotknięciu do masy pozostawić otwarte.
5. Wszystkie wejścia nie badanego przerzutnika dotknąć do masy.

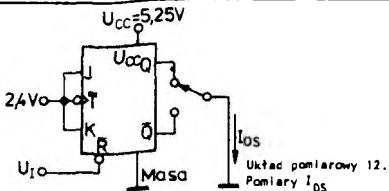


Układ pomiarowy 11. Pomiar I_{iH} i I_{CC}

Tabela określająca warunki pomiaru I_{iH}

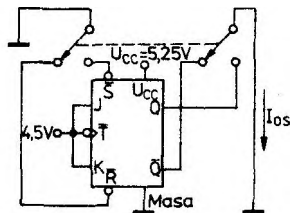
Wejście badane przyłożyć U_1 (1)	Wejścia dotknięte do masy	Przed przyłożeniem $U_1 = 4,5 \text{ V}$ chwilowo dotknąć do masy
\bar{T}	\bar{R} , J, K.	-
\bar{R}	\bar{T} , J.	-
\bar{S} (2)	\bar{T} , K.	-
J	\bar{T} , \bar{R} .	\bar{S}
K	\bar{T} , \bar{S} .	\bar{R}

- Uwagi: 1. Przy pomiarach I_{iH} do wejścia badanego przyłożyć a) $U_1 = 2,4 \text{ V}$, b) $U_1 = 5,5 \text{ V}$.
2. Wejście \bar{S} występuje tylko w układach 64/7476N.
3. Pomiar I_{CC} wykonuje się dla następujących warunków:
a) $J = K = \bar{T} = \bar{R} = 0$, dla układów 64/7476N do wejścia \bar{S} przyłożyć $U_1 = 4,5 \text{ V}$
b) Dla układów 64/7473N $J = \bar{R} = 4,5 \text{ V}$, $K = 0 \text{ V}$, wejście \bar{T} przed dotknięciem do masy chwilowo dotknąć do $U_1 = 4,5 \text{ V}$.
4. Przy pomiarach I_{iH} każdy przerzutnik jest badany oddzielnie.

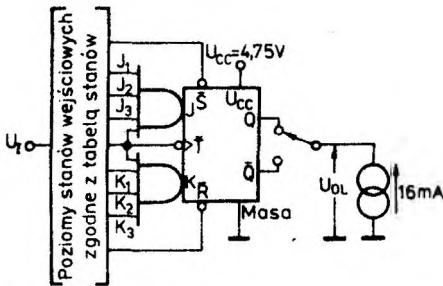


Uwagi:

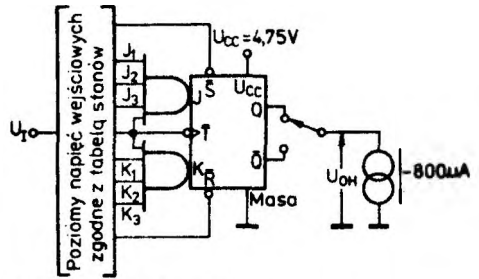
1. Każdy przerzutnik jest badany oddzielnie
2. W czasie pomiaru I_{OS} z wyjścia \bar{Q} wejście \bar{R} dotknąć do masy.
3. W czasie pomiaru I_{OS} z wyjścia Q przyłożyć do wejścia \bar{R} napięcie $U_1 = 2,4 \text{ V}$ wyjście \bar{Q} dotknąć chwilowo do masy.



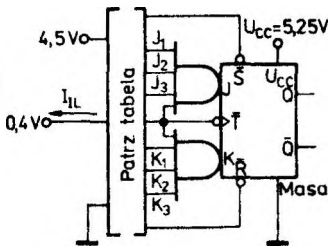
Układ pomiarowy 13. Pomiar I_{OS}



Układ pomiarowy 1. Pomiar U_{OL}



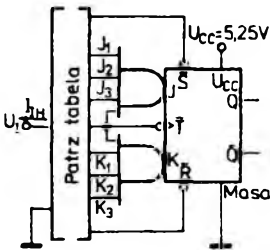
Układ pomiarowy 2. Pomiar U_{OH}



Układ pomiarowy 3. Pomiar I_{IL}

Tabela napięć wejściowych przy pomiarach I_{IL}

Wejście badane	Wejście uziemieć przed przyłożeniem $U_I = 4,5\text{ V}$	Do wejść przyłożyć $U_I = 4,5\text{ V}$
\bar{Y}	\bar{S}	J1, J2, J3, K1, K2, K3.
\bar{Y}	\bar{R}	J1, J2, J3, K1, K2, K3.
\bar{S}	-	J1, J2, J3, K1, K2, K3.
\bar{R}	-	J1, J2, J3, K1, K2, K3.
J1	\bar{R}	\bar{Y} , J2, J3.
J2	\bar{R}	\bar{Y} , J1, J3.
J3	\bar{R}	\bar{Y} , J1, J2.
K1	\bar{S}	\bar{Y} , K2, K3.
K2	\bar{S}	\bar{Y} , K1, K3.
K3	\bar{S}	\bar{Y} , K1, K2.



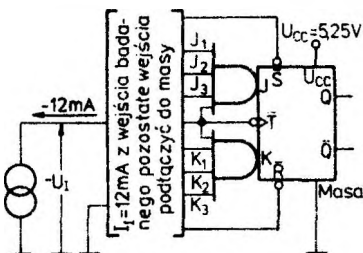
Układ pomiarowy 4. Pomiar I_{IH}

Tabela określająca warunki pomiarów I_{IH}

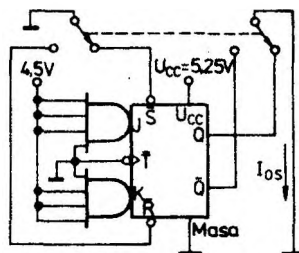
Wejścia badane	Wejścia dotknięte do masy
\bar{Y}	\bar{S} , \bar{R} , J1, J2, J3, K1, K2, K3.
\bar{S}	\bar{Y} , K1, K2, K3.
\bar{R}	\bar{Y} , J1, J2, J3.
J1	\bar{Y} , \bar{R} , J2, J3.
J2	\bar{Y} , \bar{R} , J1, J3.
J3	\bar{Y} , \bar{R} , J1, J2.
K1	\bar{Y} , \bar{S} , K2, K3.
K2	\bar{Y} , \bar{S} , K1, K3.
K3	\bar{Y} , \bar{S} , K1, K2.

*- Do wejścia badanego przyłożyć:

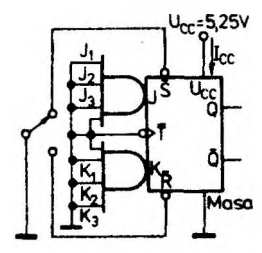
- $U_I = 2,4\text{ V}$
- $U_I = 5,5\text{ V}$



Układ pomiarowy 5. Pomiar U_I



Układ pomiarowy 6. Pomiar I_{OS}



Układ pomiarowy 7. Pomiar I_{CC}